

В. Д. Кубенко

**ОБ ОПРЕДЕЛЕНИИ ДИНАМИЧЕСКИХ ХАРАКТЕРИСТИК
ВЯЗКОЙ ЖИДКОСТИ В ЦИЛИНДРИЧЕСКОЙ ПОЛОСТИ
ПРИ ДЕЙСТВИИ СФЕРИЧЕСКОГО ИЗЛУЧАТЕЛЯ**

*Институт механики им. С.П.Тимошенко НАНУ,
ул. Нестерова, 3, 03057, Киев, Украина; e-mail: vdk@inmech.kiev.ua*

Abstract. An approach is developed to determine the wave process's characteristics in the filled with a viscous compressible liquid cylindrical cavity under excitation by the vibrating spherical body that is placed on the axis of cavity. A solution of this problem is reduced to the infinite system of algebraic equations.

Keywords: viscous liquid, cylindrical cavity, spherical oscillator.

Введение.

При изучении динамического поведения твердых или газовых включений в жидкости, как правило, рассматривается движение отдельной частицы или их совокупности в безграничной среде. Малоизученным и актуальным, однако, является изучение особенностей поведения частиц в ограниченном объеме жидкости. Как показали некоторые исследования [10, 11], даже в бесконечно длинной заполненной идеальной жидкостью цилиндрической полости, содержащей сферическое тело, имеют место аномальные явления, такие, что при определенных частотах внешнего возбуждения может произойти рост амплитуды колебаний на порядки и вследствие этого существенное изменение радиационных сил, обуславливающих движение частицы в жидкости [12]. Можно ожидать, что при учете вязкости жидкости указанные свойства будут ощутимо корректироваться, и такие исследования дадут результаты, более реалистичные. Отметим, что основы теории динамических (волновых) процессов в вязкой сжимаемой жидкости даны в монографии [2]; обзор последних результатов исследований распространения волн малой амплитуды в идеальной и вязкой жидкости с включениями выполнен в публикации [8]. Вопросы дисперсии в аналогичных системах обсуждаются в публикациях [5 – 7].

В данной работе предлагается подход к определению характеристик волнового поля в вязкой сжимаемой жидкости, заполняющей цилиндрическую полость, в присутствии сферического тела, которое является источником динамических периодических возмущений в рассматриваемой системе. В осесимметричном случае задача сводится к определению двух волновых потенциалов при соответствующих граничных условиях на поверхности жесткой полости и излучающего тела. Решение задачи строится методом разделения переменных в виде суперпозиции сферического и цилиндрического решений. Удовлетворение граничных условий на сферической и цилиндрической поверхностях производится при помощи соответствующих перераспределений цилиндрического и сферического потенциалов из одной координатной системы в другую. В результате задача сводится к решению бесконечной системы алгебраических уравнений, коэффициенты которой содержат несобственные интегралы. Решение такой системы позволит полностью определить волновые потенциалы и с их помощью вычислить поля напряжений (давления) и скоростей в жидкости.

§1. Постановка задачи.

Рассматривается бесконечно длинная круговая цилиндрическая полость радиуса ρ_0 , заполненная вязкой сжимаемой жидкостью. В жидкости находится сферическое тело радиуса r_0 , центр которого расположен на оси полости. На поверхности тела задано осесимметричное давление, периодически изменяющееся во времени с частотой ω . Требуется определить поля напряжений и скоростей в жидкости в зависимости от соотношения радиусов тела и полости, вязкости жидкости и частоты возбуждения. Речь будет идти о решении задачи дифракции излучаемых телом акустических волн в рамках линеаризованной теории вязкой сжимаемой жидкости относительно малых возмущений состояния равновесия, которое предполагается известным.

Введем в рассматриваемой системе цилиндрические $O\rho z$ и сферические $Or\theta$ координаты так, что ось z совпадает с осью полости, а общее начало координат O помещено в центр тела – см. рис. 1.

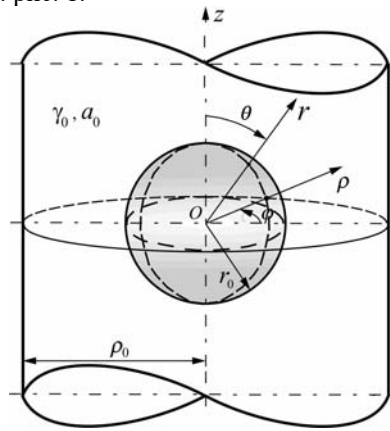


Рис. 1

Выпишем уравнения линеаризованной теории вязкой сжимаемой жидкости, описывающие рассматриваемый процесс [2]. Скалярный Φ и векторный $\vec{\Psi}$ потенциалы, через которые представлен вектор скоростей посредством соотношения

$$\vec{v} = \nabla\Phi + \nabla \times \vec{\Psi}, \quad (1.1)$$

удовлетворяют уравнениям

$$\left[\left(1 + \frac{\lambda^* + 2\mu^*}{a_0^2 \gamma_0} \frac{\partial}{\partial t} \right) \Delta - \frac{1}{a_0^2} \frac{\partial^2}{\partial t^2} \right] \Phi = 0; \quad (1.2)$$

$$\left(\frac{\partial}{\partial t} - \nu^* \Delta \right) \vec{\Psi} = 0. \quad (1.3)$$

Здесь и далее γ_0, a_0 – плотность и скорость звука в жидкости для равновесного состояния; γ, \vec{v}, p – возмущенные плотность, скорость и давление; ∇ – символический вектор; Δ – оператор Лапласа; λ^* и μ^* – динамический и второй коэффициент вязкости; $\nu^* = \mu^* / \gamma_0$ – кинематический коэффициент вязкости. Для векторного потенциала вводится представление через два скалярных потенциала $\Psi_j, j=1,2$ [4]. Линеаризованное определяющее уравнение имеет вид

$$\vec{\Psi} = \vec{e}_z \Psi_1 + \nabla \times \vec{e}_z \Psi_2, \quad (1.4)$$

где \vec{e}_z – орт оси z .

Давление p в вязкой жидкости в рамках используемого приближения линеаризованной теории представляется в виде

$$p = \gamma_0 \left(\frac{\lambda^* + 2\mu^*}{\gamma_0} \Delta - \frac{\partial}{\partial t} \right) \Phi. \quad (1.5)$$

Предполагая построить искомое решение в виде суперпозиции цилиндрических и сферических волновых функций, запишем исходные уравнения, соответственно, в цилиндрических и сферических координатах. В *цилиндрических* координатах $O\rho z$ в осесимметричном случае имеем $\Psi_1(\rho, t) = 0$ и тогда векторный потенциал $\vec{\Psi}$ определяется через составляющую Ψ_2 посредством формулы

$$\vec{\Psi} = \nabla \times \vec{e}_z \Psi_2,$$

причем скалярная функция Ψ_2 удовлетворяет уравнению

$$\left(v^* \Delta - \frac{\partial}{\partial t} \right) \Psi_2 = 0, \quad (1.6)$$

а оператор Лапласа имеет вид

$$\Delta = \frac{\partial^2}{\partial r^2} + \frac{1}{r} \frac{\partial}{\partial r} + \frac{\partial^2}{\partial z^2}. \quad (1.7)$$

Скалярный потенциал Φ удовлетворяет уравнению (1.2). Компоненты вектора скоростей и тензора напряжений в цилиндрических координатах определяются формулами

$$v_r = \frac{\partial \Phi}{\partial \rho} + \frac{\partial^2 \Psi_2}{\partial \rho \partial z}; \quad v_z = \frac{\partial \Phi}{\partial z} + \left(\frac{\partial^2}{\partial z^2} - \frac{1}{v^*} \frac{\partial}{\partial t} \right) \Psi_2;$$

$$\sigma_{rr} = 2\mu^* \left[\left(\frac{\rho_0}{2\mu^*} \frac{\partial}{\partial t} - \frac{\partial^2}{\partial z^2} - \frac{1}{\rho} \frac{\partial}{\partial \rho} \right) \Phi - \frac{\partial}{\partial z} \left(\frac{\partial^2}{\partial z^2} + \frac{1}{\rho} \frac{\partial}{\partial \rho} - \frac{1}{v^*} \frac{\partial}{\partial t} \right) \Psi_2 \right]; \quad (1.8)$$

$$\sigma_{rz} = 2\mu^* \frac{\partial}{\partial \rho} \left[\frac{\partial \Phi}{\partial z} + \left(\frac{\partial^2}{\partial z^2} - \frac{1}{2v^*} \frac{\partial}{\partial t} \right) \Psi_2 \right].$$

В *сферических* координатах $Or\theta$ в осесимметричном случае векторный потенциал $\vec{\Psi}$ имеет представление

$$\vec{\Psi} = \nabla \times \vec{e}_r r \Psi_2. \quad (1.9)$$

Здесь \vec{e}_r – орт оси r . Скалярная функция Ψ_2 удовлетворяет уравнению (1.6), в котором оператор Лапласа имеет вид

$$\Delta = \frac{1}{r^2} \frac{\partial}{\partial r} \left(r^2 \frac{\partial}{\partial r} \right) + \frac{1}{r^2 \sin \theta} \frac{\partial}{\partial \theta} \left(\sin \theta \frac{\partial}{\partial \theta} \right), \quad (1.10)$$

скалярный потенциал Φ удовлетворяет уравнению (1.2). Компоненты вектора скорости и напряжения выражаются через введенные потенциалы посредством соотношений:

$$v_r = \frac{\partial \Phi}{\partial r} - \left(r \Delta - \frac{1}{r} \frac{\partial}{\partial r} \left(r^2 \frac{\partial}{\partial r} \right) \right) \Psi_2; \quad v_\theta = \frac{1}{r} \frac{\partial \Phi}{\partial \theta} + \frac{1}{r} \frac{\partial}{\partial r} r \frac{\partial \Psi_2}{\partial \theta};$$

$$\sigma_{rr} = 2\mu^* \left[\left(\frac{\rho_0}{2\mu^*} \frac{\partial}{\partial t} \Delta + \frac{\partial^2}{\partial r^2} \right) \Phi + \left(r \frac{\partial^3}{\partial r^3} + 3 \frac{\partial^2}{\partial r^2} - r \frac{\partial \Delta}{\partial r} - \Delta \right) \Psi_2 \right]; \quad (1.11)$$

$$\sigma_{r\theta} = 2\mu^* \left[\frac{\partial^2}{\partial r \partial \theta} \left(\frac{1}{r} \Phi \right) + \frac{\partial}{\partial \theta} \left(\frac{\partial^2}{\partial r^2} + \frac{1}{r} \frac{\partial}{\partial r} - \frac{1}{r^2} - \frac{1}{2} \Delta \right) \Psi_2 \right].$$

§2. Постановка граничной задачи и общее решение.

Будут использоваться безразмерные обозначения, в которых характерными единицами служат радиус цилиндрической полости ρ_0 и скорость звука a_0 .

$$\bar{\rho} = \frac{\rho}{\rho_0}; \quad \bar{r} = \frac{r}{\rho_0}; \quad \bar{z} = \frac{z}{\rho_0}; \quad \bar{t} = \frac{ta_0}{\rho_0}; \quad \bar{\omega} = \frac{\omega \rho_0}{a_0}; \quad \bar{v} = \frac{v}{a_0}; \quad \bar{p} = \frac{p}{\gamma_0 a_0^2}; \quad \bar{r}_0 = \frac{r_0}{\rho_0}. \quad (2.1)$$

Ниже черта над обозначениями будет опущена.

Предполагается, что возмущение находящейся в цилиндрической полости жидкости происходит вследствие периодического во времени нормального напряжения, заданного на поверхности сферического тела, при отсутствии касательных напряжений. В этом случае граничные условия на поверхности сферы имеют вид

$$\sigma_{rr}|_{r=r_0} = p(\theta); \quad \sigma_{r\theta}|_{r=r_0} = 0. \quad (2.2)$$

Случай задания касательных напряжений или скорости может быть рассмотрен аналогично. Условие прилипания на поверхности жесткой цилиндрической полости требует равенства нулю вектора скорости на ней

$$v_r|_{\rho=1} = 0; \quad v_\theta|_{\rho=1} = 0. \quad (2.3)$$

Очевидно, что возмущение (2.2) обуславливает движение жидкости, которое, должно удовлетворять определенным условиям при $r \rightarrow \infty$. В свою очередь, возмущенные движения, обусловленные наличием цилиндрической полости, должны быть ограничены при $\rho \rightarrow 0$.

Так как формулируемая граничная задача (1.2), (1.6), (2.2), (2.3) относительно потенциалов Φ , Ψ_2 является линейной, а рассматриваемое ниже движение предполагается установившимся, воспользуется комплексным представлением искомых решений посредством введения временного множителя $e^{-i\omega t}$, где ω – круговая частота: $\Phi = \tilde{\Phi} e^{-i\omega t}$; $\Psi = \tilde{\Psi} e^{-i\omega t}$. Очевидно, в этом случае конечные результаты также будут комплексными величинами, причем их вещественная часть отвечает моменту времени $t = (2\pi / \omega) j$ (начало периода колебания), мнимая – моменту $t = (2\pi / \omega) j + (\pi / 2\omega)$, $j = 0, 1, \dots$ (спустя четверть периода).

Представим функции $\tilde{\Phi}$, $\tilde{\Psi}$, которые описывают состояние вязкой жидкости в рамках рассматриваемого приближения линеаризованной теории, в виде суперпозиции функций, каждая из которых представляет возмущения, обусловленные, соответственно, наличием сферической или цилиндрической границы

$$\tilde{\Phi} = \tilde{\Phi}_{sph} + \tilde{\Phi}_{cyl}; \quad \tilde{\Psi} = \tilde{\Psi}_{sph} + \tilde{\Psi}_{cyl}. \quad (2.4)$$

Функция $\tilde{\Phi}_{sph}$ определяется как решение уравнения (1.2). Для установившихся движений это уравнение имеет вид

$$(\Delta + \varkappa^2) \tilde{\Phi} = 0. \quad (2.5)$$

В сферических координатах имеем решение уравнения (2.5), удовлетворяющее условиям излучения Зоммерфельда [8] при $r \rightarrow \infty$

$$\begin{aligned}\tilde{\Phi}_{sph}(r, \theta) &= \sum_{n=0}^{\infty} A_n h_n(\varkappa r) P_n(\cos \theta); \\ \varkappa &= \sqrt{\frac{1}{1 - i\omega(\lambda^* + 2\mu^*)\gamma_0^{-1}a_0^{-2}}} \frac{\omega}{a_0} \simeq \frac{\omega}{a_0} + i \frac{\omega^2(\lambda^* + 2\mu^*)}{2a_0^3\gamma_0}.\end{aligned}\quad (2.6)$$

Функция $\tilde{\Phi}_{cyl}$ в цилиндрических координатах определяется как общее решение уравнения (2.5), ограниченное при $\rho \rightarrow 0$

$$\tilde{\Phi}_{cyl}(\rho, z) = \int_{-\infty}^{\infty} B(\xi) J_0(\sqrt{\varkappa^2 - \xi^2} \rho) e^{i\xi z} d\xi. \quad (2.7)$$

Аналогично функции $\tilde{\Psi}_{sph}$, $\tilde{\Psi}_{cyl}$, служащие общим решением уравнения (1.6) при установившихся движениях, соответственно, в сферических и цилиндрических координатах, можно записать в следующем виде:

$$\tilde{\Psi}_{sph} = \sum_{n=0}^{\infty} C_n h_n(\zeta r) P_n(\cos \theta) e^{-i\omega t}; \quad \zeta = \sqrt{\frac{i\omega}{\nu^*}} = \sqrt{\frac{\omega}{2\nu^*}}(1+i); \quad (2.8)$$

$$\tilde{\Psi}_{cyl} = \int_{-\infty}^{\infty} D(\xi) J_0(\sqrt{\zeta^2 - \xi^2} \rho) e^{i\xi z} d\xi. \quad (2.9)$$

В формулах (2.6) – (2.9) $J_0(x)$ – цилиндрическая функция Бесселя первого рода нулевого индекса; $h_n(x)$ – сферическая функция Ханкеля первого рода индекса n ; $P_n(\cos \theta)$ – полином Лежандра [1]; A_n , C_n – неизвестные постоянные; $B(\xi)$, $D(\xi)$ – неизвестные плотности.

Для того, чтобы удовлетворить граничным условиям на поверхности сферического тела и на поверхности цилиндрической полости, необходимо записать выражения для потенциальных функций $\tilde{\Phi}$, $\tilde{\Psi}$ как в сферических, так и в цилиндрических координатах. С этой целью воспользуемся известными соотношениями [3, 9]

$$h_n(\varkappa r) P_n(\cos \theta) = \frac{i^{-n}}{2\varkappa} \int_{-\infty}^{\infty} P_n\left(\frac{\xi}{\varkappa}\right) H_0(\sqrt{\varkappa^2 - \xi^2} \rho) e^{i\xi z} d\xi; \quad (2.10)$$

$$e^{i\xi z} J_0(\sqrt{\varkappa^2 - \xi^2} \rho) = \sum_{n=0}^{\infty} i^n (2n+1) P_n\left(\frac{\xi}{\varkappa}\right) j_n(\varkappa r) P_n(\cos \theta). \quad (2.11)$$

Здесь $H_0(x)$ – цилиндрическая функция Ханкеля первого рода индекса 0, $j_n(x)$ – сферическая функция Бесселя индекса n .

Используя соотношения (2.6) – (2.11), запишем полные потенциальные функции $\tilde{\Phi}$, $\tilde{\Psi}$ в сферических и в цилиндрических координатах

$$\begin{aligned}\tilde{\Phi}(\rho, z) &= \int_{-\infty}^{\infty} \left[A(\varkappa, \xi) H_0(\sqrt{\varkappa^2 - \xi^2} \rho) + B(\xi) J_0(\sqrt{\varkappa^2 - \xi^2} \rho) \right] e^{i\xi z} d\xi; \\ \tilde{\Phi}(r, \theta) &= \sum_{n=0}^{\infty} [A_n h_n(\varkappa r) + B_n j_n(\varkappa r)] P_n(\cos \theta); \end{aligned}\quad (2.12)$$

$$A(\varkappa, \xi) = \frac{1}{2\varkappa} \sum_{n=0}^{\infty} A_n i^{-n} P_n\left(\frac{\xi}{\varkappa}\right); \quad B_n(\varkappa) = i^n (2n+1) \int_{-\infty}^{\infty} B(\xi) P_n\left(\frac{\xi}{\varkappa}\right) d\xi; \quad (2.13)$$

$$\begin{aligned}\tilde{\Psi}(\rho, z) &= \int_{-\infty}^{\infty} \left[C(\zeta, \xi) H_0\left(\sqrt{\zeta^2 - \xi^2} \rho\right) + D(\xi) J_0\left(\sqrt{\zeta^2 - \xi^2} \rho\right) \right] e^{i\xi z} d\xi; \\ \tilde{\Psi}(r, \theta) &= \sum_{n=0}^{\infty} [C_n h_n(\zeta r) + D_n j_n(\zeta r)] P_n(\cos \theta); \end{aligned} \quad (2.14)$$

$$C(\zeta, \xi) = \frac{1}{2\zeta} \sum_{n=0}^{\infty} C_n i^{-n} P_n\left(\frac{\xi}{\zeta}\right); \quad D_n(\zeta) = i^n (2n+1) \int_{-\infty}^{\infty} D(\xi) P_n\left(\frac{\xi}{\zeta}\right) d\xi. \quad (2.15)$$

Представления (2.12) – (2.15) дают возможность перейти к удовлетворению граничным условиям (2.2), (2.3).

§3. Решение граничной задачи.

В рассматриваемом осесимметричном случае движений функция $p(\theta)$ в граничном условии (2.2) может быть представлена в виде ряда по полиномам Лежандра $P_n(\cos \theta)$.

$$p(\theta) = \sum_{n=0}^{\infty} p_n P_n(\cos \theta). \quad (3.1)$$

Выражения для напряжений и скорости через введенные потенциальные функции имеют следующий вид.

В сферических координатах:

$$\sigma_{rr} = 2\mu^* \sum_{n=0}^{\infty} \{A_n a_{rrn} + B_n b_{rrn} + C_n c_{r\theta n} + D_n d_{r\theta n}\} P_n(\cos \theta);$$

$$\sigma_{r\theta} = 2\mu^* \sum_{n=0}^{\infty} \{A_n a_{r\theta n} + B_n b_{r\theta n} + C_n c_{r\theta n} + D_n d_{r\theta n}\} P_n^1(\cos \theta);$$

$$v_r = \sum_{n=0}^{\infty} \{A_n a_{rn} + B_n b_{rn} + C_n c_{rn} + D_n d_{rn}\} P_n(\cos \theta); \quad (3.2)$$

$$v_{\theta} = \sum_{n=0}^{\infty} \{A_n a_{\theta n} + B_n b_{\theta n} + C_n c_{\theta n} + D_n d_{\theta n}\} P_n^1(\cos \theta), \quad (3.3)$$

где обозначено

$$a_{rn} = \varkappa \left(-\frac{n+1}{r} h_n(\varkappa r) + \varkappa h_{n-1}(ar) \right); \quad b_{rn} = \varkappa \left(-\frac{n+1}{r} j_n(\varkappa r) + \varkappa j_{n-1}(ar) \right);$$

$$c_{rn} = \left(r \frac{i\omega}{v^*} + \frac{n+n^2-\zeta^2 r^2}{r^2} \right) h_n(\zeta r); \quad d_{rn} = \left(r \frac{i\omega}{v^*} + \frac{n+n^2-\zeta^2 r^2}{r^2} \right) j_n(\zeta r);$$

$$a_{\theta n} = \frac{1}{r} \varkappa h_n(\varkappa r); \quad b_{\theta n} = \frac{1}{r} \varkappa j_n(\varkappa r);$$

$$c_{\theta n} = -\frac{1}{r} h_n(\zeta r) + \zeta h_{n-1}(\zeta r); \quad d_{\theta n} = -\frac{1}{r} j_n(\zeta r) + \zeta j_{n-1}(\zeta r);$$

$$a_{rm} = \left(n^2 + 3n + 2 - \frac{\varkappa^2 r^2}{2} \right) \frac{1}{r} h_n(\varkappa r) - 2\varkappa h_{n-1}(\varkappa r);$$

$$\begin{aligned}
b_{rm} &= \left(n^2 + 3n + 2 - \frac{\varkappa^2 r^2}{2} \right) \frac{1}{r} j_n(\varkappa r) - 2\varkappa j_{n-1}(\varkappa r); \\
c_{rm} &= n(n+1) \left(-\frac{n+2}{r} h_n(\zeta r) + \zeta h_{n-1}(\zeta r) \right); \\
d_{rm} &= n(n+1) \left(-\frac{n+2}{r} j_n(\zeta r) + \zeta j_{n-1}(\zeta r) \right); \\
a_{r\theta n} &= -\frac{n+2}{r} h_n(\varkappa r) + \varkappa h_{n-1}(\varkappa r); \quad b_{r\theta n} = -\frac{n+2}{r} j_n(\varkappa r) + \varkappa j_{n-1}(\varkappa r); \\
c_{r\theta n} &= \left(n(n+2) - \frac{\zeta^2 r^2}{2} \right) \frac{1}{r} h_n(\zeta r) - \zeta h_{n-1}(\zeta r); \\
d_{r\theta n} &= \left(n(n+2) - \frac{\zeta^2 r^2}{2} \right) \frac{1}{r} j_n(\zeta r) - \zeta j_{n-1}(\zeta r).
\end{aligned}$$

В цилиндрических координатах (ограничимся необходимыми выражениями для компонент вектора скорости)

$$v_\rho = \int_{-\infty}^{+\infty} [A(\varkappa, \xi) a_\rho(\varkappa, \xi) + B(\xi) b_\rho(\varkappa, \xi) + C(\zeta, \xi) c_\rho(\zeta, \xi) + D(\xi) d_\rho(\zeta, \xi)] e^{i\xi z} d\xi; \quad (3.4)$$

$$v_z = \int_{-\infty}^{+\infty} [A(\varkappa, \xi) a_z(\varkappa, \xi) + B(\xi) b_z(\varkappa, \xi) + C(\zeta, \xi) c_z(\zeta, \xi) + D(\xi) d_z(\zeta, \xi)] e^{i\xi z} d\xi; \quad (3.5)$$

где

$$a_\rho(\varkappa, \xi) = -\sqrt{\varkappa^2 - \xi^2} H_1(\sqrt{\varkappa^2 - \xi^2} \rho); \quad b_\rho(\varkappa, \xi) = -\sqrt{\varkappa^2 - \xi^2} J_1(\sqrt{\varkappa^2 - \xi^2} \rho);$$

$$c_\rho(\zeta, \xi) = -i\xi H_1(\sqrt{\zeta^2 - \xi^2} \rho); \quad d_\rho(\zeta, \xi) = -i\xi J_1(\sqrt{\zeta^2 - \xi^2} \rho);$$

$$a_z(\varkappa, \xi) = i\xi H_0(\sqrt{\varkappa^2 - \xi^2} \rho); \quad b_z(\varkappa, \xi) = i\xi J_0(\sqrt{\varkappa^2 - \xi^2} \rho);$$

$$c_z(\zeta, \xi) = \left(-\xi^2 + \frac{i\omega}{v^*} \right) H_0(\sqrt{\zeta^2 - \xi^2} \rho); \quad d_z(\zeta, \xi) = \left(-\xi^2 + \frac{i\omega}{v^*} \right) J_0(\sqrt{\zeta^2 - \xi^2} \rho).$$

Перейдем к удовлетворению граничным условиям. На поверхности цилиндрической полости имеем условия прилипания (2.3), откуда

$$\begin{aligned}
&\int_{-\infty}^{+\infty} [A(\varkappa, \xi) a_\rho^{(1)}(\varkappa, \xi) + B(\xi) b_\rho^{(1)}(\varkappa, \xi) + \\
&+ C(\zeta, \xi) c_\rho^{(1)}(\zeta, \xi) + D(\xi) d_\rho^{(1)}(\zeta, \xi)] e^{i\xi z} d\xi = 0; \quad (3.6)
\end{aligned}$$

$$\int_{-\infty}^{+\infty} [A(\varkappa, \xi) a_z^{(1)}(\varkappa, \xi) + B(\xi) b_z^{(1)}(\varkappa, \xi) + C(\zeta, \xi) c_z^{(1)}(\zeta, \xi) + D(\xi) d_z^{(1)}(\zeta, \xi)] e^{i\xi z} d\xi = 0.$$

Здесь введены обозначения $a_\rho^{(1)} = a_\rho|_{\rho=1}$, $b_\rho^{(1)} = b_\rho|_{\rho=1}$ и т. д. Из (3.6) вследствие единственности преобразования Фурье следуют соотношения

$$\begin{aligned}
A(\varkappa, \xi) a_\rho^{(1)}(\varkappa, \xi) + B(\xi) b_\rho^{(1)}(\varkappa, \xi) + C(\zeta, \xi) c_\rho^{(1)}(\zeta, \xi) + D(\xi) d_\rho^{(1)}(\zeta, \xi) &= 0; \\
A(\varkappa, \xi) a_z^{(1)}(\varkappa, \xi) + B(\xi) b_z^{(1)}(\varkappa, \xi) + C(\zeta, \xi) c_z^{(1)}(\zeta, \xi) + D(\xi) d_z^{(1)}(\zeta, \xi) &= 0.
\end{aligned} \tag{3.7}$$

На поверхности сферического включения имеют место условия (2.2), откуда с учетом (3.1) получаем

$$\begin{aligned}
\sum_{n=0}^{\infty} \{A_n a_{rm}^{(0)} + B_n b_{rm}^{(0)} + C_n c_{rm}^{(0)} + D_n d_{rm}^{(0)}\} P_n(\cos \theta) &= \sum_{n=0}^{\infty} p_n P_n(\cos \theta); \\
\sum_{n=0}^{\infty} \{A_n a_{r\theta n}^{(0)} + B_n b_{r\theta n}^{(0)} + C_n c_{r\theta n}^{(0)} + D_n d_{r\theta n}^{(0)}\} P_n^1(\cos \theta) &= 0.
\end{aligned} \tag{3.8}$$

Здесь обозначено $a_{rm}^{(0)} = a_{rm}|_{r=r_0}$; $b_{rm}^{(0)} = b_{rm}|_{r=r_0}$ и т. д. Из (3.8) вследствие ортогональности полиномов Лежандра имеем

$$A_n a_{rm}^{(0)} + B_n b_{rm}^{(0)} + C_n c_{rm}^{(0)} + D_n d_{rm}^{(0)} = p_n; \quad A_n a_{r\theta n}^{(0)} + B_n b_{r\theta n}^{(0)} + C_n c_{r\theta n}^{(0)} + D_n d_{r\theta n}^{(0)} = 0. \tag{3.9}$$

Если соотношения (3.7) переписать в виде:

$$\begin{cases} B(\xi) b_\rho^{(1)} + D(\xi) d_\rho^{(1)} = -A(\varkappa, \xi) a_\rho^{(1)} - C(\zeta, \xi) c_\rho^{(1)}; \\ B(\xi) b_z^{(1)} + D(\xi) d_z^{(1)} = -A(\varkappa, \xi) a_z^{(1)} - C(\zeta, \xi) c_z^{(1)}, \end{cases} \tag{3.10}$$

то решение алгебраической системы уравнений (3.10) с использованием первой колонки соотношений (2.12), (2.14) позволяет получить представления плотностей $B(\xi), D(\xi)$ через коэффициенты A_n, C_n

$$\begin{aligned}
B(\xi) &= F_1(\xi) \sum_{n=0}^{\infty} A_n i^{-n} P_n\left(\frac{\xi}{\varkappa}\right) + F_2(\xi) \sum_{n=0}^{\infty} C_n i^{-n} P_n\left(\frac{\xi}{\zeta}\right); \\
D(\xi) &= F_3(\xi) \sum_{n=0}^{\infty} A_n i^{-n} P_n\left(\frac{\xi}{\varkappa}\right) + F_4(\xi) \sum_{n=0}^{\infty} C_n i^{-n} P_n\left(\frac{\xi}{\zeta}\right).
\end{aligned} \tag{3.11}$$

Здесь введены обозначения:

$$\begin{aligned}
F_1(\xi) &= \frac{a_z^{(1)} d_\rho^{(1)} - a_\rho^{(1)} d_z^{(1)}}{2\varkappa \Pi}; \quad F_2(\xi) = \frac{c_z^{(1)} d_\rho^{(1)} - c_\rho^{(1)} d_z^{(1)}}{2\zeta \Pi}; \quad F_3(\xi) = \frac{a_\rho^{(1)} b_z^{(1)} - a_z^{(1)} d_\rho^{(1)}}{2\varkappa \Pi}; \\
F_4(\xi) &= \frac{c_\rho^{(1)} b_z^{(1)} - c_z^{(1)} b_\rho^{(1)}}{2\zeta \Pi}; \quad \Pi = b_\rho^{(1)} d_z^{(1)} - a_\rho^{(1)} b_z^{(1)}.
\end{aligned} \tag{3.12}$$

Теперь из (3.9), используя представления (3.11) и вторые колонки соотношений (2.12), (2.14), получим бесконечную систему алгебраических уравнений относительно неизвестных коэффициентов A_n, C_n

$$\begin{aligned}
a_{rm}^{(0)} A_n + c_{rm}^{(0)} C_n + (2n+1) \sum_{m=0}^{\infty} i^{n-m} Q_{nm}^{(1)} A_m + (2n+1) \sum_{m=0}^{\infty} i^{n-m} Q_{nm}^{(2)} C_m &= V_n; \\
a_{\theta n}^{(0)} A_n + c_{\theta n}^{(0)} C_n + (2n+1) \sum_{m=0}^{\infty} i^{n-m} Q_{nm}^{(3)} A_m + (2n+1) \sum_{m=0}^{\infty} i^{n-m} Q_{nm}^{(4)} C_m &= 0 \\
(n = 0, 1, 2, \dots).
\end{aligned} \tag{3.13}$$

Если обозначить

$$a_{rm}^{(0)} A_n + c_{rm}^{(0)} C_n = X_n^{(1)}; \quad a_{\theta n}^{(0)} A_n + c_{\theta n}^{(0)} C_n = X_n^{(2)}$$

систему (3.13) можно записать в каноническом виде

$$\begin{aligned} X_n^{(1)} + (2n+1) \sum_{m=0}^{\infty} i^{n-m} \frac{1}{D_m} \left[\left(Q_{nm}^{(1)} c_{\theta m}^{(0)} + Q_{nm}^{(2)} a_{rm}^{(0)} \right) X_m^{(1)} - \left(Q_{nm}^{(1)} X_m^{(2)} c_{rm}^{(0)} + Q_{nm}^{(2)} a_{rm}^{(0)} \right) X_m^{(2)} \right] &= V_0; \\ X_n^{(2)} + (2n+1) \sum_{m=0}^{\infty} i^{n-m} \frac{1}{D_m} \left[\left(Q_{nm}^{(3)} c_{\theta m}^{(0)} + Q_{nm}^{(4)} a_{rm}^{(0)} \right) X_m^{(1)} - \left(Q_{nm}^{(3)} X_m^{(2)} c_{rm}^{(0)} + Q_{nm}^{(4)} a_{rm}^{(0)} \right) X_m^{(2)} \right] &= 0 \end{aligned} \quad (3.14)$$

($n = 0, 1, 2 \dots$).

Здесь обозначено:

$$\begin{aligned} D_m &= a_{rm}^{(0)} c_{\theta m}^{(0)} - a_{\theta m}^{(0)} c_{rm}^{(0)}; \quad Q_{nm}^{(1)} = b_{rn}^{(0)} q_{nm}^{(1)} + d_{rn}^{(0)} q_{nm}^{(2)}; \quad Q_{nm}^{(2)} = b_{rn}^{(0)} q_{nm}^{(3)} + d_{rn}^{(0)} q_{nm}^{(4)}; \\ Q_{nm}^{(3)} &= b_{\theta n}^{(0)} q_{nm}^{(1)} + d_{\theta n}^{(0)} q_{nm}^{(2)}; \quad Q_{nm}^{(4)} = b_{\theta n}^{(0)} q_{nm}^{(3)} + d_{\theta n}^{(0)} q_{nm}^{(4)}; \\ q_{nm}^{(1)} &= \int_{-\infty}^{\infty} F_1(\xi) P_m \left(\frac{\xi}{\varkappa} \right) P_n \left(\frac{\xi}{\varkappa} \right) d\xi; \quad q_{nm}^{(2)} = \int_{-\infty}^{\infty} F_2(\xi) P_n \left(\frac{\xi}{\varkappa} \right) P_m \left(\frac{\xi}{\varkappa} \right) d\xi; \\ q_{nm}^{(3)} &= \int_{-\infty}^{\infty} F_3(\xi) P_m \left(\frac{\xi}{\varkappa} \right) P_n \left(\frac{\xi}{\varkappa} \right) d\xi; \quad q_{nm}^{(4)} = \int_{-\infty}^{\infty} F_4(\xi) P_n \left(\frac{\xi}{\varkappa} \right) P_m \left(\frac{\xi}{\varkappa} \right) d\xi. \end{aligned}$$

В уравнениях (3.14) коэффициенты $Q_{nm}^{(k)}$ таковы, что при нечетном $n+m$ имеет место равенство

$$q_{nm}^{(k)} = 0; \quad Q_{nm}^{(k)} = 0 \quad (k = 1, \dots, 4).$$

Можно показать, что определитель системы (3.14) принадлежит к определителям нормального типа, и она может быть приближенно решена методом усечения.

После того, как решение системы (3.14) будет найдено и определены также коэффициенты B_n, D_n при помощи формул (3.9), все характеристики процесса могут быть вычислены. Например, давление p в жидкости в рамках линеаризованной теории определяется согласно формулы (1.5) в следующем виде:

$$p = \left(-\frac{\lambda^* + 2\mu^*}{\gamma_0 a_0^2} \varkappa^2 + i\omega \right) \sum_{n=0}^{\infty} \left[A_n h_n(\varkappa r) + B_n j_n(\varkappa r) \right] P_n(\cos \theta).$$

Давление, полученное с точностью до слагаемых второго порядка [2], имеет вид

$$p = \gamma_0 \left(-\frac{\lambda^* + 2\mu^*}{\gamma_0} \Delta - \frac{\partial}{\partial t} \right) \Phi + \frac{\gamma_0}{2a_0^2} \left(\frac{\partial \Phi}{\partial t} \right)^2 - \frac{1}{2} \gamma_0 (\nabla \Phi)^2 - \frac{\lambda^* + 2\mu^*}{a_0^2} \frac{\partial \Phi}{\partial t} \Delta \Phi. \quad (3.15)$$

Выражение (3.15) используется в случае, если целью исследования является изучение динамики твердых тел в сжимаемой вязкой жидкости под действием радиационных сил.

Р Е З Ю М Е . Розвинено підхід до визначення хвильових процесів в заповненій в'язкою рідиною циліндричній порожнині при збудженні віброуючим сферичним тілом, розташованим на осі порожнини. Розв'язок задачі зведено до нескінченної системи алгебраїчних рівнянь.

1. *Абрамовиц М., Стиган И.* Справочник по специальным функциям. – М: Наука, 1979. – 830 с.
2. *Гузь А.Н.* Динамика сжимаемой вязкой жидкости. – К.: А.С.К. – 1998. – 348 с.
3. *Ерофеев В. Т.* Связь между основными решениями в цилиндрических и сферических координатах уравнений Гельмгольца и Лапласа // Изв. АН БССР. Сер. физ.-мат. наук. – 1972. – № 4. – С. 42 – 46.

4. Морс Ф.М., Феиббах Г. Методы теоретической физики. Т.2. – М: Иностранная литература, 1960. – 898 с.
5. Guz A.N., Bagnò A.M. Effect of Liquid Viscosity on Dispersion of Quasi-Lamb Waves in an Elastic Layer – Liquid Layer System // Int. Appl. Mech. – 2017. – **53**, N 4. – P. 361 – 367.
6. Guz A.N., Bagnò A.M. Effect of Prestresses on the Dispersion of Lamb Waves in a System Containing of a Viscous Liquid Layer and a Compressible Elastic Layer // Int. Appl. Mech. – 2018. – **54**, N 3. – P. 249 – 258.
7. Guz A.N., Bagnò A.M. Effect of Prestresses on Quasi-Lamb Waves in a System Containing of a Compressible Viscous Liquid Half-Space and an Elastic Layer // Int. Appl. Mech. – 2018. – **54**, N 6. – P. 617 – 627.
8. Guz A.N., Zhuk A.P., Bagnò A.M. Dynamics of Elastic Bodies, Solid Particles, and Fluid Particles in a Compressible Viscous Fluid (Review) // Int. Appl. Mech. – 2016. – **52**, N 5. – P. 449 – 507.
9. Kubenko V.D. Diffraction of Steady Waves at a Set of Spherical and Cylindrical Bodies in an Acoustic Medium // Int. Appl. Mech. – 1987. – **23**, N 6. – P. 605 – 610.
10. Kubenko V.D., Dzyuba V.V. Diffraction of a Plane Acoustic Wave by a Rigid Sphere in a Cylindrical Cavity: an Axisymmetric Problem // Int. Appl. Mech. – 2009. – **45**, N 4. – P. 424 – 432.
11. Kubenko V.D., Dzyuba V.V. Resonant Phenomena in Axisymmetric Hydroelastic Systems from Cylindrical Shell with Inclusion under Presence of Internal Compressible Liquid and External Elastic Medium // J. of Fluids and Structures. – 2006. – **22**, Iss. 4. – P. 577 – 594.
12. Zhuk A. P., Kubenko V.D., Zhuk Y. A. Acoustic Radiation Force on a Spherical Particle in a Fluid - Filled Cavity // J. Acoust. Soc. Am. – 2012. – N 132. – P. 2189 – 2197.

Поступила 15.03.2018

Утверждена в печать 05.03.2019

